

東北大學工學部 正員 工博 名 峰 敏 天  
“ ” 工修 異 梓 岩 由

§ - I . 頃 言

三陸海岸では津波堤防として防波堤が造られてゐる場合が多いが、特に岩手県では陸上奥深くに巨大な防波堤が数百メートルの長さにわたつて築造されてゐる。このようすが巨大な防波堤の津波対策としての是非については、社会的かつ経済的に疑問の余地が多いが、水理學的に見てもその位置、高さ等において効果の上から疑問の点が残されている。二・七・一の陸堤とは、上述のような専ら津波遮蔽のために造られた防波堤は勿論、陸上への越上津波に対して遮蔽機能を有すると考えられる道路、鉄道等の築堤も含めたものを意味してゐる。

この論文は、陸上への週上津波に対する一昨年來の研究の繼續として、まず有限振中の長波の鉛直岸壁での部分反射による部分重複波の発生理論に対する著者等の提案した方法について更に詳しく解析を試み、その後の実験の成果をも追補してその理論の妥当性を示し、次いで鉛直岸壁を越えて水平な陸上に打上げた津波が、汀線からある距離を進行して直立堤に衝突したときの挙動を実験的に検討したものである。

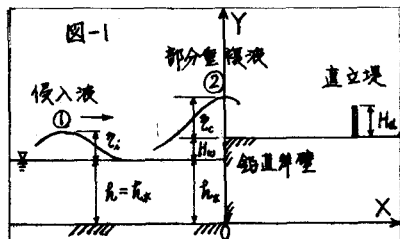
### 3-2. 津波入射直岸壁での部分反射による部分重複波の発生理論<sup>\*</sup>

図-1に示すと、①のようす侵入津波が②のようす部分重複減とすき現象に対する理論的概略は次のようである。然次元化した弹性曲線式

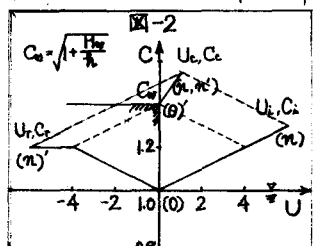
$$\frac{dX}{dt} = U \pm C ; \quad \frac{d}{dt}(U \pm XC) = -f\left(\frac{U^2}{C}\right) \quad \dots \dots \dots (1)$$

∴ 第 2、底面または動界は規則的 ( $U, C$ ) 特性値で定められる。

$$U \pm XC = \text{const.} \quad \dots \dots \dots (2)$$



が成立つ。(2)式は  $U, C$  に関する線形であるから、 $(U, C)$  特性面では重ね合わせの原理が成立し、従って侵入波の特性初期値曲線に対する岸壁の壁面では侵入波の流速が 0 に等しく時に反射波の特性境界値を与えうることが出来る。図-2 でこれを説明すると、侵入波の特性初期値曲線は有効域中長波の流速と波速との関係、 $U_i = Z(C_i - 1)$  より(2)-(n) 在する線分で表わされる。これに対し、壁面の反射率  $r=1$  と(1)ときの反射波の特性境界値曲線は(1)-(m) すなはち(1)-(n) の斜線の線分で与えられる。即ち、鉛直岸壁の高さ  $H_0$  を波速  $C_0 = \sqrt{1 + H_0/g}$  に置換したとき、 $C_r = (C_0 - 1)/2$  までは  $C$  軸に沿って侵入波と対称に反射波を与える。折点から上位  $C_r$  が変化するのみが  $U_i$  と対称に増大するものと(2)等しい。結果、鉛直岸壁の特性境界値曲線は(1)-(1)-(n,m) すなはち(1)-(m) で表わされることになる。従つて、(1)-(n), (m,n') 点の図-2 における幾何学的関係から、反射率  $r=1$  ときの各特性値についての次の関係式が得られる。



$$\frac{C_c - 1}{C_o - 1} = \frac{3}{2} \cdot \frac{C_i - 1}{C_o - 1} + \frac{1}{4} \quad \dots \dots \dots (3)$$

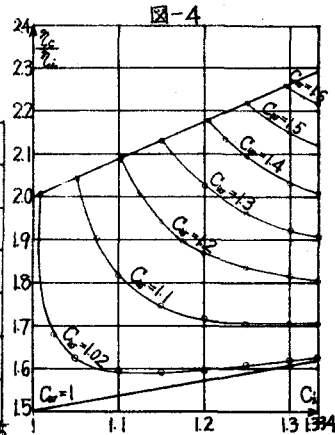
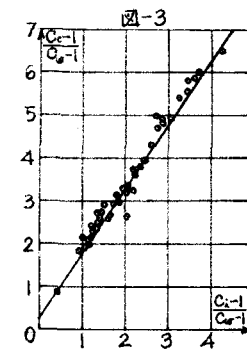
たゞし、 $C_o - 1 \leq 2(C_i - 1)$  (4)

これを図示すると図-3のような直線となる。  
右丸は孤立波による実験値であるが、左方  
よりよき理論直線上にのっている。

(3), (4) 式を変形すると、部分重複波高  $Z_c$   
と侵入波高  $Z_i$  の比波高  $Z_c/Z_i$  は次式で与  
えられる。

$$\frac{Z_c}{Z_i} = \left\{ \frac{3}{2} C_i + \frac{C_o + 1}{4} \right\} \left[ \frac{3}{2} C_i + \frac{C_o + 1}{4} - 2 \right] / (C_i^2 - 1) \quad \dots \dots \dots (3')$$

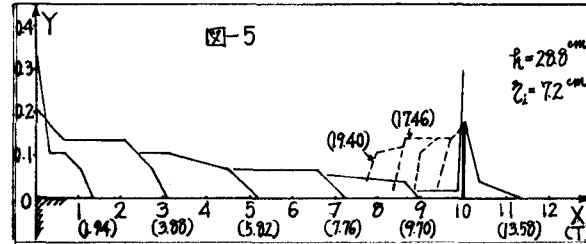
$$\frac{Z_c}{Z_i} \leq \frac{4 C_i}{C_i + 1} \quad \dots \dots \dots (4)$$



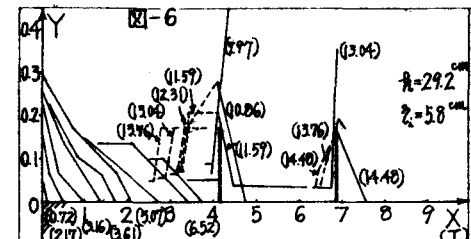
(3') 式を  $C_o$  を parameter として数値計算した結果が図-4である。  $C_o = 1.334$  の孤立波理論による限界波速  
に相当するが、これは相応する比波高の最大値は(4)'より 2.286、すなわち  $C_o = 1$  の微小擾乱波の理論によ  
る波速に相当するが、これに相当する比波高の最大値は(4)'より 2 となつた。

### 8-3. 週上波に対する直立堤の効果に関する実験、および結果に対する実験的考察

実験は図-1に示すように、鉛直岸壁の位  
置を座標の原点にとり直立堤の位置と高さ  
の組合せを種々に変えて行った。測定は  
直立堤が一つのときは 35 mm カメラで 37/sec  
の速度で撮影し(図-5)、二つのときは 16 mm  
カメラで 80/sec の速度で撮影した(図-6)。



これらの図は週上波が直立堤に衝突したときの一  
般的現象を示しているが、週上波の先端が直立堤に衝突  
した瞬間、波は強い jet となって堤面に沿って打上げ  
堤頂よりはさかに高く飛沫となって空中に放出されて  
越流する。次いで落下した飛沫の一部は後続する衝突  
波と一緒に下りて初片と反射波が形成され、その一  
部がもし堤高が低ければ堤頂を越流する。反射波の高さと速度は衝突前面の週上波と堤間に越流量  
との間に平衡をとりながら変化していくよう見えた。こりより本実験的考察を基礎にして、今後  
は更に定量的な取扱いに發展させてゆきたいと思ふ。



最後に、以上の実験、資料整理、計算および図の作製等は、主として東北大学生工学部学生、野嶋正  
風、谷口 寛の両君が行なもとあることを記しつゝ、このに謝意を表すを次第である。

\*名崎敏夫 著書「水平す隆上への津波の週上に関する研究」第19回海岸工学講演会講演集、昭和41年12月、pp.223~229